

例3: 空气中一个载流闭合回路的一部分为直线，
求该直线部分在其中平面上的磁矢量位 A 。

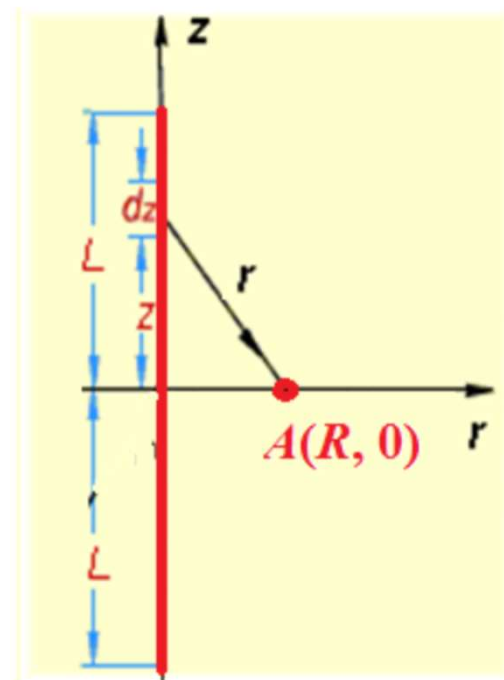
解： A 与电流同方向，所以 $A(r, z) = A_z(r, z) \mathbf{e}_z$ ，
设无限远处为参考点，则有：

$$\begin{aligned} A(r, z) = A_z \mathbf{e}_z &= \frac{\mu_0 I}{4\pi} \int_{-L}^L \frac{dz}{r} \mathbf{e}_z = \frac{\mu_0 I}{4\pi} \int_{-L}^L \frac{dz}{(R^2 + z^2)^{1/2}} \mathbf{e}_z \\ &= \frac{\mu_0 I}{2\pi} \ln \frac{L + \sqrt{R^2 + L^2}}{R} \mathbf{e}_z \end{aligned}$$

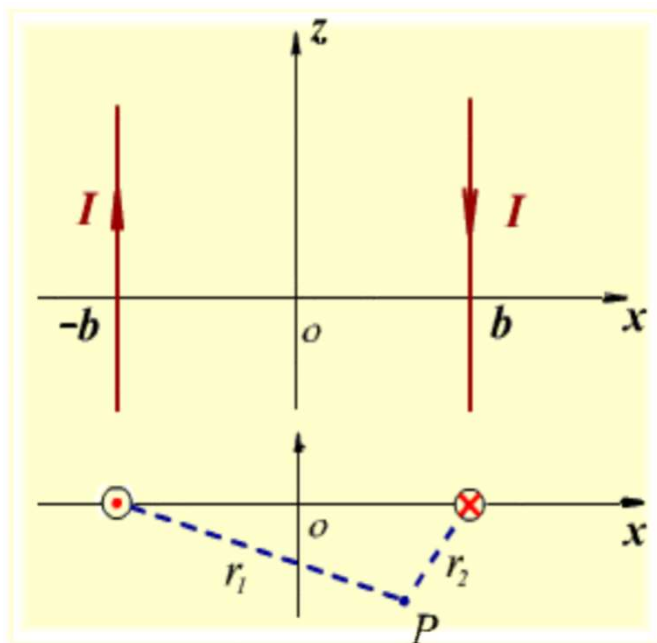
当 $L \gg R$ 时， $A = \frac{\mu_0 I}{2\pi} \ln \frac{2L}{R} \mathbf{e}_z$

L 不能为无限大。若 L 为无限大则不能取无限远处 A 为零，可取任一点 r_0 处为 0，则各点都减去 r_0 处的磁位有：

$$A = \frac{\mu_0 I}{2\pi} \left[\ln \frac{2L}{R} - \ln \frac{2L}{r_0} \right] \mathbf{e}_z = \frac{\mu_0 I}{2\pi} \ln \frac{r_0}{R} \mathbf{e}_z \quad \text{与 } L \text{ 无关}$$



例4: 求两无限长输电线的磁矢量位。



解：由上例单根长直导线的结果，
可得两长直导线在 P 点的磁矢量位：

$$A_1 = \frac{\mu_0 I}{2\pi} \ln \frac{r_{01}}{r_1} \mathbf{e}_z$$

$$A_2 = -\frac{\mu_0 I}{2\pi} \ln \frac{r_{02}}{r_2} \mathbf{e}_z$$

设参考点在中间面上，则有 $r_{01}=r_{02}$ ，故有：

$$\mathbf{A} = A_1 + A_2 = \frac{\mu_0 I}{2\pi} \ln \frac{r_2}{r_1} \mathbf{e}_z$$

与 A 反向的电流导线距离 r_2 在分子上。

此为两无限长输电线的磁矢量位。此公式直接用。

重申：利用磁矢量位 A 求磁通

$$\Phi = \int_S \mathbf{B} \cdot d\mathbf{S} = \int_S (\nabla \times \mathbf{A}) \cdot d\mathbf{S} = \oint_l \mathbf{A} \cdot d\mathbf{l} \quad (\text{Wb})$$

利用 A 计算磁通比利用 B 计算磁通要简单得多。

计算磁通是求电感的基础。

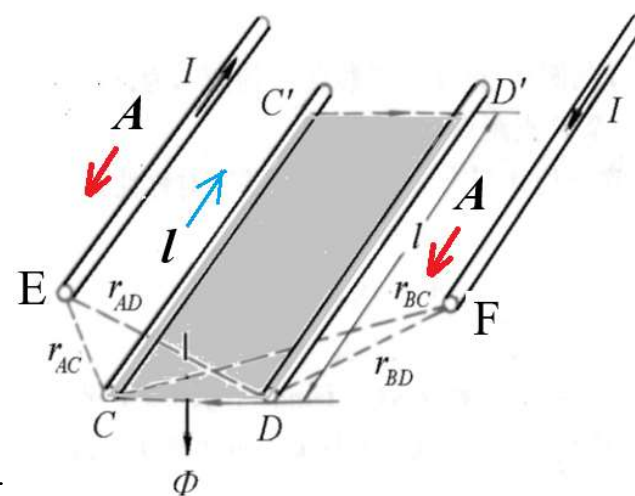
例5：一对传输线E、F中通有电流 I 。计算其在另一对传输线C、D之间的面积上产生的磁通（长度为 l ），磁通方向(向下)如图。

一对传输线产生的 A 为： $A = \frac{\mu_0 I}{2\pi} \ln \frac{r_2}{r_1} \mathbf{e}_z$ （设方向向外）

磁通面积 S 对应的边界 l 及方向为顺时针：C-C'-D'-D-C。设磁矢量位 A 的方向与右侧电流同向(向外)。磁位 A 与边C'-D'和D-C垂直，故对 A 的线积分为零，只剩下两轴向上 A 的积分：

$$\Phi = \oint_l \mathbf{A} \cdot d\mathbf{l} = -A_C l + A_D l \quad \text{此处的电流与 } A_C \text{ 反向}$$

$$= -\left(\frac{\mu_0 I}{2\pi} \ln \frac{r_{AC}}{r_{BC}}\right) l + \left(\frac{\mu_0 I}{2\pi} \ln \frac{r_{AD}}{r_{BD}}\right) l = \frac{\mu_0 I l}{2\pi} \ln \frac{r_{AD} r_{BC}}{r_{AC} r_{BD}}$$



扩充内容：磁偶极子的A以及等效磁化电流密度的推导

称小圆环电流为磁偶极子，定义磁偶极矩 $\mathbf{m} = I\mathbf{S}$ 。在球坐标系下，其产生的 \mathbf{B} 的近似表达式(教材式3-28): $\mathbf{B}_p = \frac{\mu_0 \mathbf{m}}{4\pi r^3} (2\cos\theta \mathbf{e}_r + \sin\theta \mathbf{e}_\theta)$

其产生的 \mathbf{A} 为: $\mathbf{A}_p = \frac{\mu_0 I}{4\pi} \oint \frac{d\mathbf{l}}{r}$

$$A_\alpha \approx \frac{\mu_0 \mathbf{m}}{4\pi r^2} \sin\theta = \frac{\mu_0 \mathbf{m} \times \mathbf{r}^0}{4\pi r^2} \quad (\text{参见冯慈璋编电磁场第二版142页})$$

在球坐标系下可验证: $\mathbf{B} = \nabla \times \mathbf{A}$

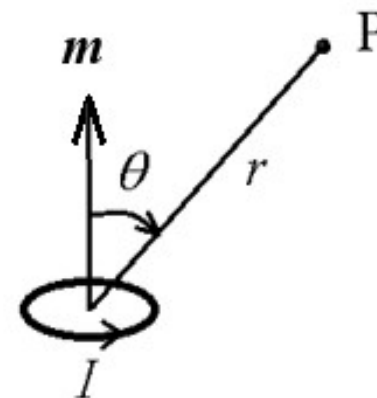
一个磁媒质体 V' 被磁化带有磁化强度 \mathbf{M} 后产生的 \mathbf{A} :

$$\mathbf{A}(\mathbf{r}) = \frac{\mu_0 I}{4\pi} \iiint_{V'} \frac{\mathbf{M}(\mathbf{r}') \times |\mathbf{r} - \mathbf{r}'|^0 dV}{|\mathbf{r} - \mathbf{r}'|^2} = \frac{\mu_0 I}{4\pi} \iiint_{V'} \mathbf{M}(\mathbf{r}') \times \nabla' \frac{1}{R^2} dV, \quad R = |\mathbf{r} - \mathbf{r}'|$$

应用恒等式: $\mathbf{C} \times \nabla h = h \nabla \times \mathbf{C} - \nabla \times (h\mathbf{C})$ 和 $\iiint_V \nabla \times \mathbf{C} dV = -\oiint_S (\mathbf{C} \times \mathbf{n}) dS$

$$\begin{aligned} \text{可得: } \mathbf{A}(\mathbf{r}) &= \frac{\mu_0 I}{4\pi} \iiint_{V'} \frac{1}{R} \nabla' \times \mathbf{M}(\mathbf{r}') dV - \frac{\mu_0 I}{4\pi} \iiint_{V'} \nabla' \times \frac{\mathbf{M}(\mathbf{r}')}{R} dV \\ &= \frac{\mu_0 I}{4\pi} \iiint_{V'} \frac{\nabla' \times \mathbf{M}(\mathbf{r}')}{R} dV - \frac{\mu_0 I}{4\pi} \oiint_S \frac{\mathbf{M}(\mathbf{r}') \times \mathbf{n}}{R} dS \end{aligned}$$

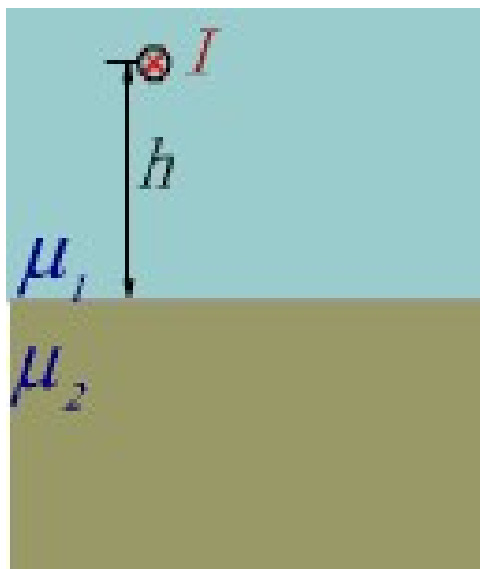
从上式可看出等效体电流密度和面电流密度为: $\mathbf{J}_m = \nabla \times \mathbf{M}$, $\mathbf{K}_m = \mathbf{M} \times \mathbf{n}$



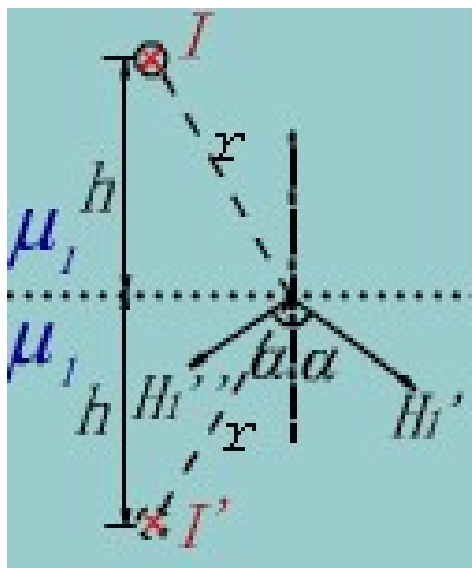
第8节 镜像法

作业：习题36 (c、d)、39、40

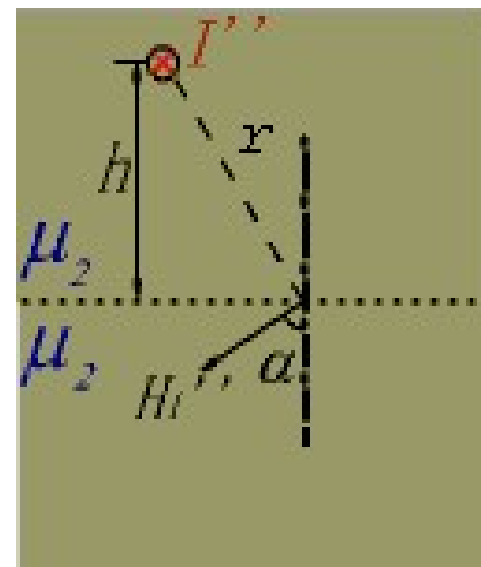
1. 两种半无限大磁媒质中长直线电流的镜像



原问题



求上半平面的镜像



求下半平面的镜像

$$H_{1t} = H_{2t} \quad \Rightarrow \quad \frac{I}{2\pi r} \sin \alpha - \frac{I'}{2\pi r} \sin \alpha = \frac{I''}{2\pi r} \sin \alpha$$

$$B_{1n} = B_{2n} \quad \Rightarrow \quad \mu_1 \frac{I}{2\pi r} \cos \alpha + \mu_1 \frac{I'}{2\pi r} \cos \alpha = \mu_2 \frac{I''}{2\pi r} \cos \alpha$$

由以上两式得：

$$I' = \frac{\mu_2 - \mu_1}{\mu_2 + \mu_1} I, \quad I'' = \frac{2\mu_1}{\mu_2 + \mu_1} I$$

$$\frac{1}{\epsilon} \leftrightarrow \mu$$

$$\sigma \leftrightarrow \mu$$

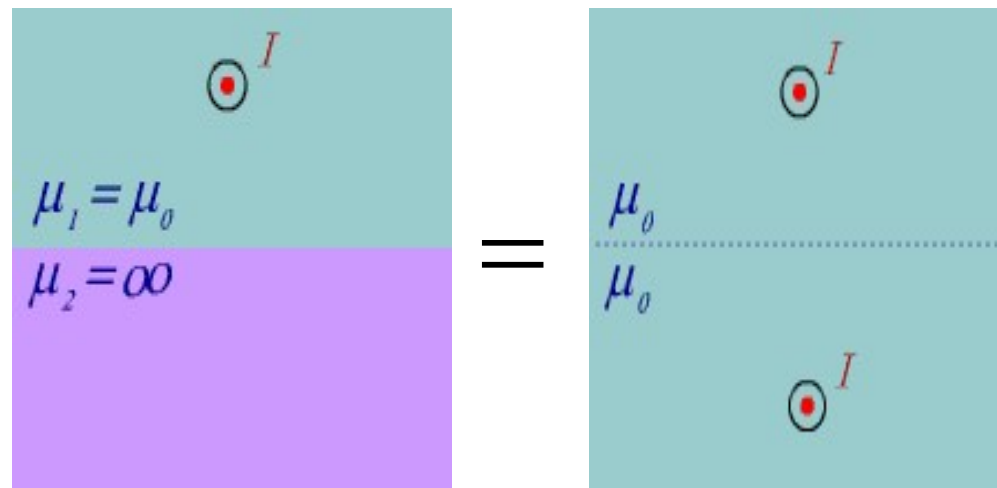
2. 半无限大理想磁媒质上方长直线电流的镜像

写出场的边值问题或由场分布特性分析边界条件：
空气侧***B***线垂直于分界面， $B_t=0$ 。

利用场分布特性 $B_t=0$ ，很容易判断出应有 $I'=I$ 。

将上面的区域**2**的磁导率设为无限大，区域**1** 为空气，
则有：

$$I' = \frac{\mu_2 - \mu_0}{\mu_0 + \mu_2} I = I \quad I'' = \frac{2\mu_0}{\mu_0 + \mu_2} I = 0$$



区域**2**中的***B***=0?

空气中 $\mathbf{B}_1 = \frac{\mu_0}{2\pi} \left(\frac{I}{r_1} \mathbf{e}_{\alpha 1} + \frac{I'}{r_2} \mathbf{e}_{\alpha 2} \right)$

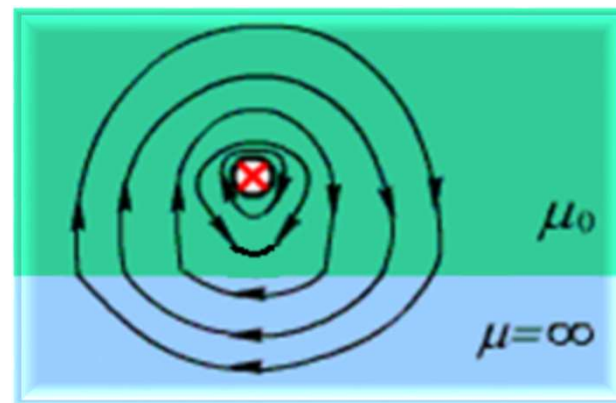
空气中 \mathbf{B} 线垂直于铁磁平板，在交界面上 \mathbf{B} 有法向，
所以铁磁板中的 \mathbf{B} 不等于零，而是等于：

$$\mathbf{B}_2 = \mu_2 \mathbf{H}_2 = \mu_2 \frac{I''}{2\pi r} \mathbf{e}_{\alpha'} = \mu_2 \left(\frac{2\mu_0}{\mu_0 + \mu_2} \right) \frac{I}{2\pi r} \mathbf{e}_{\alpha'} = \frac{\mu_0 I}{\pi r} \mathbf{e}_{\alpha'}$$

$\mu_2 \rightarrow \infty$

$\mu_2 \rightarrow \infty$, B_2 非零非无限大，
故 $H_2 = B_2 / \mu_2 = 0$

3. 长直线电流位于半无限大
磁导率为无限大的材料中
模型太过理想化，故略去其分析。



B线

此题未设置答案，请点击右侧设置按钮

关于自感，下列说法是否正确？

1) 电感的定义是磁通除电流。

☐ A

正确

☐ B

不正确

2) 一个细导线绕成的空心线圈的电感值与频率有关。

☐ C

正确

☐ D

不正确

3) 一个铁心线圈的电感与电流有关。

☐ E

正确

☐ F

不正确

提交

第9节 电感(自感与互感)

自感定义：回路电流 I 产生的磁链与该电流的比值称为自感：

$$L = \frac{\psi}{I} \quad \text{单位：亨利[H]。电感的属性是回路与磁链。}$$

回路围成的面积上的磁链与电流成右手螺旋关系。电感值一定为正。

磁链 ψ 的定义： 一个小面积 dS 上的磁链等于该面积上的磁通 $d\Phi$ 乘其磁力线所交链的电流的个数 $N_{d\Phi}$ ，即：

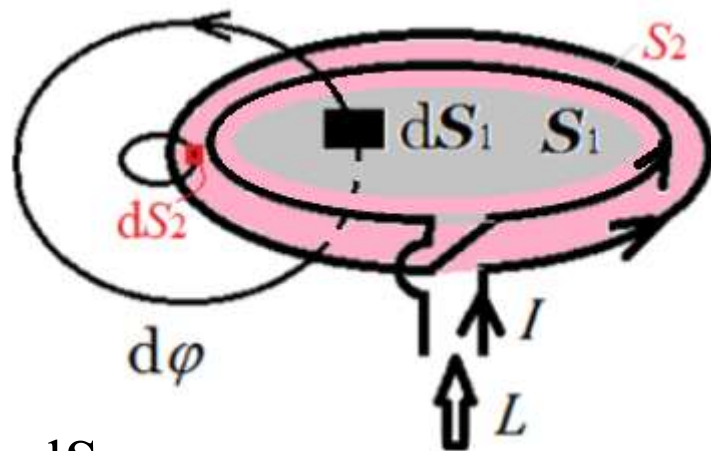
$$d\psi = N_{d\Phi} d\Phi = N_{d\Phi} \mathbf{B} \cdot d\mathbf{S}$$

dS_1 对应的 $N_{d\Phi 1}=2$ ，而 dS_2 对应的 $N_{d\Phi 2}=1$ 。
求 ψ 时要对回路构成的面根据不同的 $N_{d\Phi}$ 分区积分，即：

$$\psi = \sum_i \iint_{S_i} N_{d\Phi i} d\Phi = \sum_i \iint_{S_i} N_{d\Phi i} \mathbf{B}_i \cdot d\mathbf{S}$$

只有各匝导线都重合在一起时才有磁链等于磁通乘匝数：

$$\psi = N\Phi$$



- 在线性媒质中， L 仅与回路的几何尺寸、媒质参数有关，而与加不加电流无关。
- 对于有铁心构成的线圈之电感，其非线性程度一般较大，电感无定值，不给定电流就无法说电感值有多大。这是**非线性电感或器件参数值**的重要特性。如铁心式电抗器的电感值不定。
- 总磁链可分为位于导线内的磁通对应的磁链(或与导线中部分电流交链的磁链) 和与全部电流交链的磁链，它们分别对应的电感称为**内自感**与**外自感**，即：

$L_i = \frac{\psi_i}{I}$: 与部分电流交链的磁链除以总电流称为**内自感**。

$L_o = \frac{\psi_o}{I}$: 与全部电流交链的磁链除以总电流称为**外自感**。

总自感: $L = L_i + L_o$

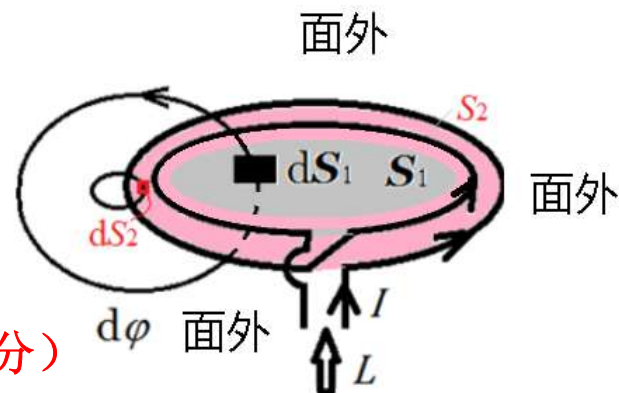
时变电感一般要略小于直流电感，减小的部分主要是内电感，外电感随频率变化很小。原因：不同频率下导线内电流有趋肤现象，内部磁密变小，但外部磁密基本不变。

自感计算方法:

1) 加电流求磁链法

$$I \rightarrow H \rightarrow B \rightarrow \Phi \rightarrow \psi \rightarrow L (L_i, L_0)$$

$$\downarrow \quad \quad \quad \uparrow \quad \quad \quad \text{(先明确dS上的磁通与磁链再积分)}$$



计算电感首先要明确回路，然后在回路中加电流 I ，画出有代表性的磁力线。由面上各处的磁力线与电流数的关系确定磁链计算区域。

电感定义式中的磁链可认为是回路围成的曲面上的磁链。

而由于磁通的连续性，该曲面外的总磁链与面上磁链一定相等。

求磁链时的面积是：所有磁力线都要穿过该面，且只穿过一次。

2) 加电流求磁场能量法

$$W_m = \frac{1}{2} LI^2$$

$$L = \frac{2W_m}{I^2}$$

$$W_m = \frac{1}{2} \int_V \mathbf{H} \cdot \mathbf{B} dV$$

电感是储存磁场能的器件，将电感电流保持住就可储存能量，当然这最好使用超导材料做成导线形成线圈，以减小损耗。

只要有导线、有回路就一定有电感，或者说只要有电流回路、就有磁场能、就有电感。电感可能起好作用也可能起坏作用。

例1: 求同轴电缆单位长的电感 L ，芯线与外皮的磁导率为 μ 。

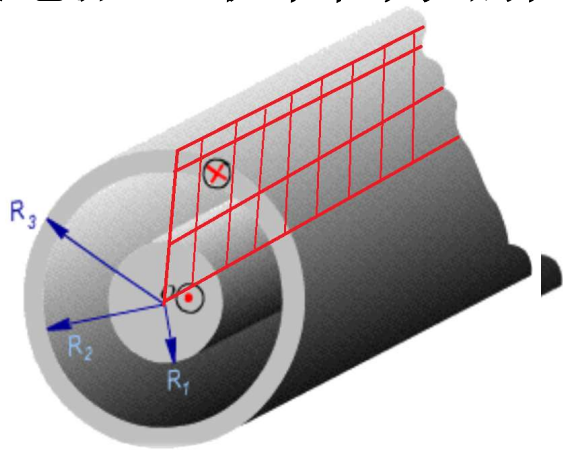
解：芯线与外皮形成回路，可认为是电缆端部的芯线与外皮引出两个端子，电缆的另一端芯线与外皮连接（短接或接电阻），电阻不影响电感值，忽略端部效应，或求电缆中间部位的单位长电感。

芯线与外皮加反向电流 I 后，磁力线为圆，求磁通或磁链的面积是位于任意一条半径上的面，在电缆方向上单位长。

（回路）总自感 $L = L_{i1} + L_{i2} + L_o$

1) 芯线的内自感 L_{i1} ($0 \leq r \leq R_1$) （习题40与此类似）

设电流 I 。取半径为 r 的圆为安培环路，则有：



同轴电缆截面

$$\oint_L \mathbf{H} \cdot d\mathbf{l} = I' = \frac{I}{\pi R_1^2} \pi r^2 = \frac{I}{R_1^2} r^2$$

$$H = \frac{I}{2\pi R_1^2} r \quad B = \frac{\mu I}{2\pi R_1^2} r$$

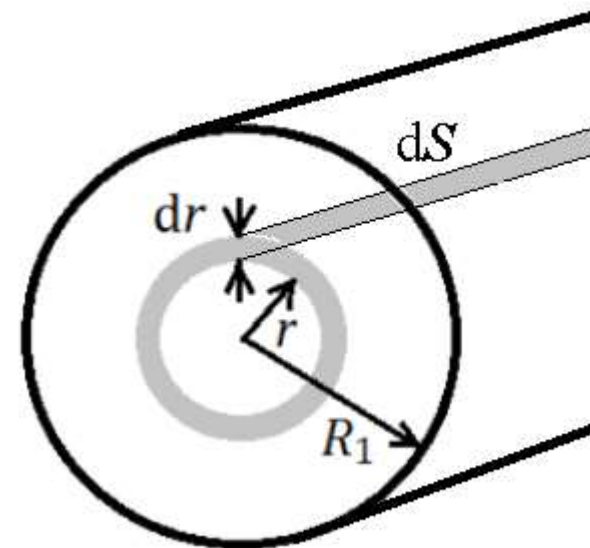
若求单位长的磁通对 B 从0到 R_1 积分即可。
然而，现在是要求磁链。

先求： $d\psi = N_{d\phi} d\Phi$

求磁链

为求沿整个半径与电缆单位长的面积上的磁链，
设 dS 为半径方向上的宽度 dr 乘单位长，
穿过 dr 处的磁力线所交链的电流“个数”为
（即包含的半径为 r 的圆截面中的电流占总
电流的比例，实为面积比）：

$$N = \frac{\pi r^2}{\pi R_1^2} = \frac{r^2}{R_1^2}$$



观察芯线截面

穿过宽度为 dr 、单位长度的矩形面积的
磁链为：

$$d\psi = N_{d\phi} d\Phi = N_{d\phi} \mathbf{B} \cdot d\mathbf{S} = \frac{r^2}{R_1^2} \frac{\mu I r}{2\pi R_1^2} dr \times 1 = \frac{\mu I r^3}{2\pi R_1^4} dr$$

$$\psi_{i1} = \int_0^{R_1} \frac{\mu I r^3}{2\pi R_1^4} dr = \frac{\mu I}{8\pi}$$

芯线（导线）的内自感与半径无关，
无论多粗的导线内自感均相同。

内自感 $L_{i1} = \frac{\psi_{i1}}{I} = \frac{\mu}{8\pi}$

显然，芯线半径越大外自感越小，总
自感也越小。对线圈也近似如此。

2) 外导体的内自感 L_{i2} $R_2 \leq r \leq R_3$

芯线与外皮的电流方向相反。

取半径为 r 的圆为安培环路，则该回路包含的电流为：

$$I' = I - I \left(\frac{\pi r^2 - \pi R_2^2}{\pi R_3^2 - \pi R_2^2} \right) = \frac{R_3^2 - r^2}{R_3^2 - R_2^2} I$$

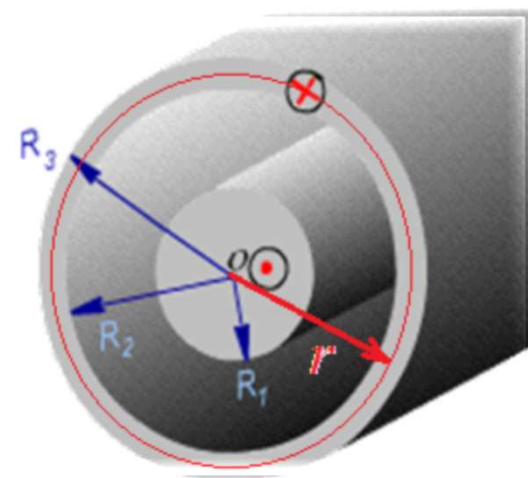
由 I' 的表达式可得：

穿过半径上宽度为 dr 的磁力线所交链的电流“个数”为：

$$N = \frac{I'}{I} = \frac{R_3^2 - r^2}{R_3^2 - R_2^2}$$

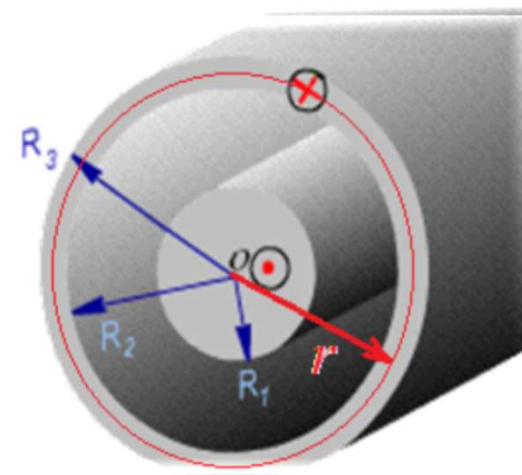
磁场强度：

$$H = \frac{I'}{2\pi r} = \frac{\left(\frac{R_3^2 - r^2}{R_3^2 - R_2^2} \right) I}{2\pi r} = \frac{I}{2\pi r} \left(\frac{R_3^2 - r^2}{R_3^2 - R_2^2} \right)$$



$$d\psi = N_{d\varphi} \mathbf{B} \cdot d\mathbf{S} = \frac{R_3^2 - r^2}{R_3^2 - R_2^2} \frac{\mu I}{2\pi r} \left(\frac{R_3^2 - r^2}{R_3^2 - R_2^2} \right) dr$$

$$= \frac{\mu I}{2\pi r} \frac{(R_3^2 - r^2)^2}{(R_3^2 - R_2^2)^2} dr \quad N = \frac{R_3^2 - r^2}{R_3^2 - R_2^2}$$



$$L_{i2} = \frac{\psi}{I} = \frac{1}{I} \int_{R_2}^{R_3} \frac{\mu I}{2\pi r} \cdot \left(\frac{R_3^2 - r^2}{R_3^2 - R_2^2} \right)^2 dr$$

$$= \frac{\mu}{2\pi} \left(\frac{R_3^2}{R_3^2 - R_2^2} \right)^2 \ln \frac{R_3}{R_2} - \frac{\mu R_3^2}{2\pi(R_3^2 - R_2^2)} + \frac{\mu(R_3^2 + R_2^2)}{8\pi(R_3^2 - R_2^2)}$$

3) 内、外导体间的外自感 L_o ($R_1 < r < R_2$)

$$B = \frac{\mu_0 I}{2\pi r} \quad d\psi_o = d\Phi_o = \frac{\mu_0 I}{2\pi r} dr$$

$$L_o = \frac{\psi_o}{I} = \frac{1}{I} \int_{R_1}^{R_2} \frac{\mu_0 I}{2\pi r} dr = \frac{\mu_0}{2\pi} \ln \frac{R_2}{R_1}$$

例2: 近似计算两平行长直传输线（铝线）单位长的自感。

解：总自感 $L = 2L_i + L_o$

这里一根导线的内自感近似为： $L_i = \frac{\mu_0}{8\pi}$

外自感解法一： 设电流 I 、由 B 求磁通

$$\text{在 } x \text{ 处, } H_{\text{向下}} = \frac{I}{2\pi x} + \frac{I}{2\pi(D-x)}$$

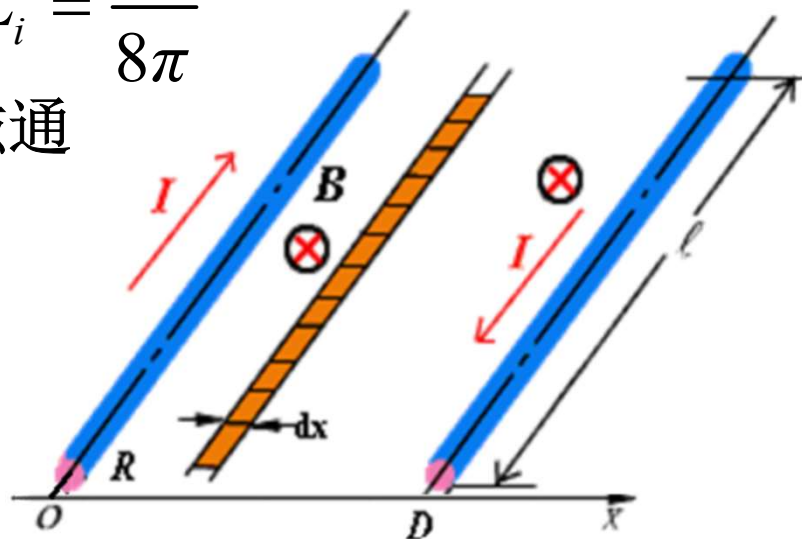
所求磁通要与电流成右手螺旋关系。
这里是向下。

$$\psi_o = \Phi_o = \int \mathbf{B} \cdot d\mathbf{S}$$

$$= \mu_0 I \int_R^{D-R} \left[\frac{1}{2\pi x} + \frac{1}{2\pi(D-x)} \right] dx$$

$$= \frac{\mu_0 I}{\pi} \ln \frac{D-R}{R}$$

$$L_o = \frac{\psi_o}{I} = \frac{\mu_0}{\pi} \ln \frac{D-R}{R} \quad \text{总电感: } L = 2L_i + L_o \approx \frac{\mu_0}{4\pi} + \frac{\mu_0}{\pi} \ln \frac{D-R}{R}$$



导线的半径变大，内电感基本不变，而外电感减小。

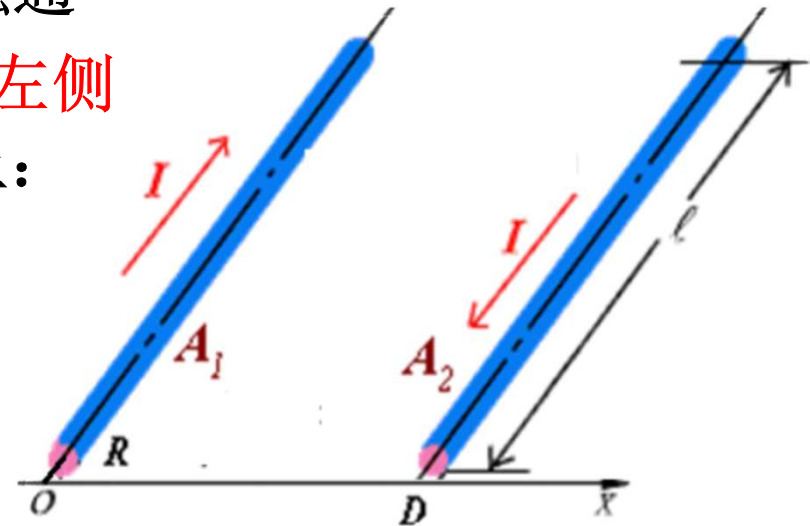
分裂型输电线是为了增加相线半径，从而为了减小电感。

外自感解法二：设电流 I 、由 A 求磁通

设两导线内侧表面上 A 的方向均与左侧导线电流方向相同，则有内侧面上：

$$A_1 = \frac{\mu_0 I}{2\pi} \ln \frac{D-R}{R}$$

$$A_2 = \frac{\mu_0 I}{2\pi} \ln \frac{R}{D-R}$$



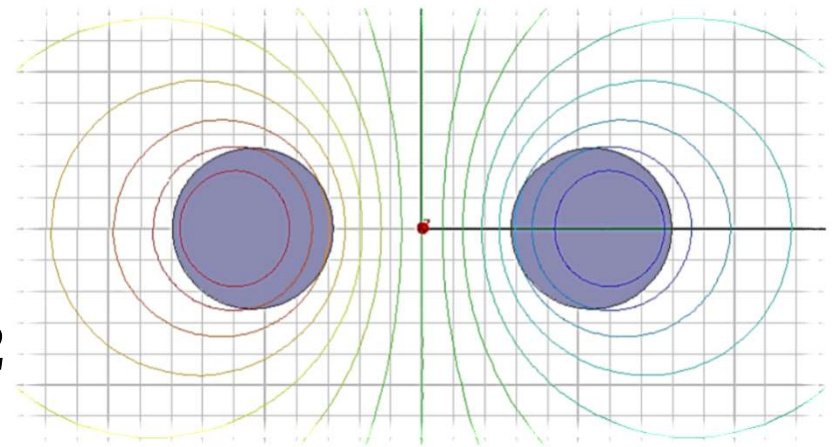
对方向向下的磁链，取回路为顺时针，则有：

$$\psi_o = \Phi_o = \oint \mathbf{A} \cdot d\mathbf{l} = A_1 l - A_2 l = l \frac{\mu_0 I}{2\pi} \ln \frac{D-R}{R} - l \frac{\mu_0 I}{2\pi} \ln \frac{R}{D-R} = l \frac{\mu_0 I}{\pi} \ln \frac{D-R}{R}$$

$$L_o = \frac{\psi_o}{I} = \frac{\mu_0}{\pi} \ln \frac{D-R}{R} \quad (\text{单位长})$$

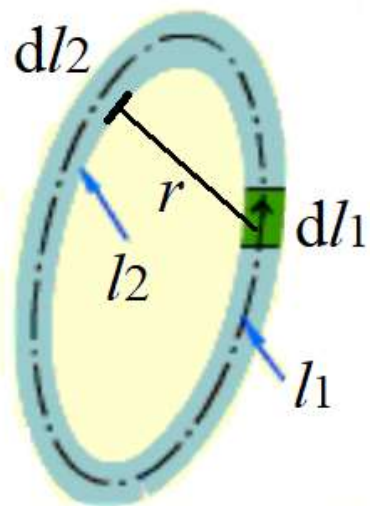
内电感并不严格为： $L = 2L_1 = \frac{\mu_0}{4\pi}$

实际值要大于该值，因导体1对导体2内靠近导体1半边的 B 有增加作用。



基于矢量磁位 A 得到的任意闭合回路的外电感计算通式

求外自感：设电流 I ，近似认为其等效于位于中心线 l_1 上的线电流，该电流在任意点产生的磁矢量位：



$$A = \frac{\mu_0}{4\pi} \oint_{l_1} \frac{Idl_1}{r}$$

内侧闭合线 l_2 上所围成的曲面的磁通等于对 A 求闭合线积分，因此有：

$$\Phi_o = \oint_{l_2} A \cdot dl_2 = \frac{\mu_0 I}{4\pi} \oint_{l_2} \oint_{l_1} \frac{dl_1 \cdot dl_2}{r}$$

$$L_o = \frac{\mu_0}{4\pi} \oint_{l_2} \oint_{l_1} \frac{dl_1 \cdot dl_2}{r}$$

对多匝和考虑螺距的螺线管线圈同样适用。

此避开了由磁通求磁链的难题，是直接求任意回路的磁链。